

2.-1 有孔H形はりの弾性応力

広島大学 正員 工博 大村裕
 広島大学 正員 工修 ○上野谷実
 佐藤工業 正員 森下晴雄

1 まえがき

H形はりのウェアに、円孔、横円孔、多角形孔を有するものを有孔H形はりといふ。有孔H形はりにおける孔辺の弾性応力解析は、孔の小さい場合、はりを無限板と仮定する無限板理論^{(1)(X2)}によって可能であるが、孔の大きい場合、無限板理論は適合しないので未解決のまゝになっている。

著者らは、無限板理論を発展させて孔の大きい場合でも適合可能な解析法を修正理論として提案する。この修正理論は、はりの任意断面における内力と外力の釣合を無限板理論に導入したものである。ここには、解析の簡単な円孔について、無限板理論から修正理論を誘導する過程を示すが他の孔形に対しても同様の考え方を適用できる。

2 円孔を有するH形はりの無限板解析法

有孔はりの弾性解析は、孔様の境界条件を満足するAiryの応力関数 Φ_0 を求めるに帰着する。応力関数 Φ_0 は、はりに孔の無い場合の応力関数 Φ_0 と、万が孔様にありて生ずる応力 Φ_1 、 Φ_0 を打ち消し無限遠において消失する応力関数 Φ_2 との和によつて表わすことができる。

図-1のようす、単純支持の有孔H形はりが、集中荷重を受けたときの応力関数 Φ_0 は、無限板理論の場合次のように複素応力関数 $\psi_0(\zeta)$ 、 $\psi_0(\bar{\zeta})$ で表わすことができる。

$$\psi_0(\zeta) = \frac{P\alpha^3 i}{8I} \left[-\frac{1}{3}\zeta^3 - \lambda_0 \zeta^2 + (4\beta_0^2 - 1)\zeta + \lambda_0 \zeta^2 + \frac{2}{3}\zeta^3 \right] \quad (1)$$

$$\psi_0(\bar{\zeta}) = \frac{P\alpha^3 i}{8I} \left[\frac{2}{3}\bar{\zeta}^3 + \lambda_0 \bar{\zeta}^2 + 4\beta_0^2 \bar{\zeta}^2 - 2\lambda_0 - \lambda_0 \bar{\zeta}^2 + 4(\beta_0^2 - \frac{1}{3})\bar{\zeta}^3 + 2\lambda_0 \bar{\zeta}^2 + 2\bar{\zeta}^3 \right] \quad (2)$$

$$\text{ここで } \zeta = r e^{i\theta}, i: \text{虚数単位 } \lambda_0 = \frac{c}{a}, \beta_0 = \frac{c}{a}, c^2 = d^2 \left(1 + 2 \frac{b^2}{d^2} \right), I: (\text{はりの断面二次モーメント})$$

従つて応力 σ_θ 、 σ_r 、 $\tau_{\theta r}$ は、次式のようになる。

$$\sigma_\theta = \frac{Pa^3}{4I} [(r^2 - 2r^4 + 5r^6) \sin 4\theta + \lambda_0(r^4 - r^3 + 4r^5) \sin 3\theta + \{ 2\beta_0^2 - 2r^2 - 2(1 - 3\beta_0^2)r^4 \} \sin 2\theta + \lambda_0(-3r^4 - r^3) \sin \theta] \quad (3)$$

$$\sigma_r = \frac{Pa^2}{4I} [(-r^2 + 6r^4 - 5r^6) \sin 4\theta + \lambda_0(-r^4 + 5r^3 - 4r^5) \sin 3\theta + \{-2\beta_0^2 - 2(1 - 4\beta_0^2)r^2 + 2(1 - 3\beta_0^2)r^4 \} \sin 2\theta + \lambda_0(-r^4 + r^3) \sin \theta] \quad (4)$$

$$\tau_{\theta r} = \frac{Pa^2}{2I} [(r^2 + 4r^4 - 5r^6) \cos 4\theta + \lambda_0(r^4 + 3r^3 - 4r^5) \cos 3\theta + \{ 2\beta_0^2 - r^2(1 - 4\beta_0^2) + 2(1 - 3\beta_0^2)r^4 \} \cos 2\theta + \lambda_0(-r^4 + r^3) \cos \theta] \quad (5)$$

3 無限板解析による内外力の釣合

はりに作用する外力と内力は、任意断面において等しくなければならない、という条件から、無限板解析の適用範囲が規制される。すなわち、はりの任意断面で内外力は常に次式を満足しなければならない。

$$M = \int \sigma_x y dy \quad (6)$$

$$S = \int \tau_{xy} dy \quad (7)$$

ここに、 M, S は任意断面に作用する外力、 σ_x, τ_{xy} は内力である。 A は積分を行う面積である。式(6)(7)

の右辺の内力によるモーメント、せん断力をそれぞれ M' , S' として、無限板解析の内外力の比 $\frac{M'}{M}$, $\frac{S'}{S}$ を円孔径により高の比 $\frac{a}{d}$ をパラメーターとして計算したものと図-2に示す。

図-2からわかるように、モーメントの釣合はよく、断面の位置による変化も多い。ところが、せん断力の釣合は悪く、断面の位置による変化も大きい。とくに、 90° 断面の釣合が著しく悪い。内外力の釣合が80%以上のとき、実用的な適用性があるとすれば、無限板解析は、直応力 σ_x について $\frac{a}{d} \leq \frac{3}{4}$ 、せん断応力 T_{xy} について $\frac{a}{d} \leq \frac{1}{3}$ 、 $90^\circ \sim 60^\circ$ 断面を除けば $\frac{a}{d} \leq \frac{1}{2}$ において適用が可能である。

実際の有孔H形はりは、円孔径が高の $\frac{2}{3}$ 以上は考えられないので、無限板解の適用はせん断応力 T_{xy} によって制限される。すなはち荷重状態が、純せん断の場合、 $\frac{a}{d} \leq \frac{1}{3}$ に制限されるが、曲げとせん断を受ける場合、直応力 σ_x とせん断応力 T_{xy} の比 $\frac{\sigma_x}{T_{xy}}$ によって適用範囲は変る。純曲げの場合適用に制限は受けないと考えてさしつかえない。

4. 修正理論の誘導

内外力の釣合式(6)(7)が常に成立つ解析法として修正理論を以下に示す。

内外力が釣合うための条件を求める目的で、(6)(7)式が成立つと仮定して右辺の積分を行うと、右辺の α_0 , γ_0 と左辺の α_0 , γ_0 の間には次のようないくつかの関係があることが解る。

$$\begin{aligned} \text{左} = 0 \text{ のとき } \lambda &= \lambda / [(1 - Y^2) - \frac{\alpha^4}{\alpha^2} (13X^2 + \alpha^2) \left\{ \frac{1}{(X^2+1)^2} - \frac{Y}{\alpha^2} \right\} + 2\alpha^4 (3X^4 + 5X^2) \left\{ \frac{1}{(X^2+1)^2} - \frac{Y}{\alpha^2} \right\} - 2\alpha^6 X^2 \left\{ \frac{1}{(X^2+1)^2} - \frac{Y}{\alpha^2} \right\}] \\ Y^2 &= 2\alpha^2 / \left[2(1 - Y) - (\tan^{-1} \frac{1}{X_1} - \tan^{-1} \frac{Y_1}{X_1}) (4X_1 - \frac{2\alpha_1^2}{X_1} - \frac{3\alpha_1^4}{2X_1^3}) - \left(\frac{1}{X_1^2+1} - \frac{Y_1}{\alpha_1^2} \right) (2\alpha_1^2 - \frac{3\alpha_1^4}{2X_1^2}) - \left(\frac{1}{(X_1^2+1)^2} - \frac{Y_1}{\alpha_1^2} \right) (4\alpha_1^2 X_1^2 - 3\alpha_1^4) \right] \\ X_0 = 0 \text{ のとき } \lambda &= \lambda / (1 - \alpha^2) \\ Y^2 &= (2\alpha^2 - \frac{\alpha^2}{2} - \frac{\alpha_1^4}{3} + \frac{\alpha_1^6}{2}) / (1 - \alpha^2)^2 \end{aligned}$$

ここで $\alpha = \frac{a}{d}$, $X = \frac{x_0}{d}$, $Y = \frac{y_0}{d}$, $\alpha_1 = \frac{a_1}{d_1}$, $X_1 = \frac{x_1}{d_1}$, $Y_1 = \frac{y_1}{d_1}$ x_0, y_0 : 断面における円孔縁の座標
上式は、無限板理論において定数として扱っていた α_0 , γ_0 を、よりの断面の位置によって変化する α , γ と考えねばならないことを示している。

修正理論の応力関数 ψ は、無限板理論の応力関数 ψ_0 に含まれている α_0 , γ_0 を入、 α , γ と置換すればだけよい。同様に、修正理論による応力 σ_x , σ_y , T_{xy} も(3)(4)(5)式の α_0 , γ_0 を入、 α , γ と置換すればよいので、その記述は省略する。

5. 模型はりによる実験とその結果および考察

模型実験は、修正理論と実際の応力性状と適合するかどうかを照査し、実験的にも円孔周辺の力学性状を把握する目的で行う。右表は模型はりの平

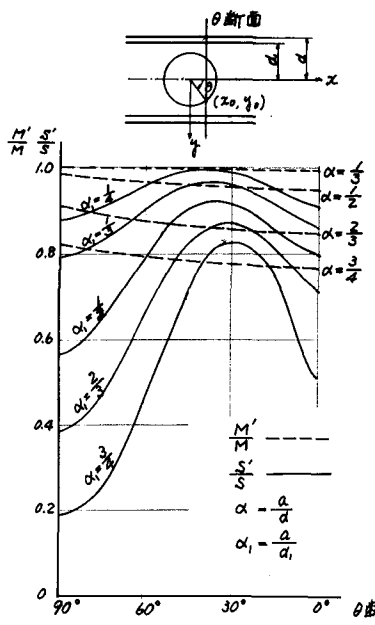


図-2

はり	a	u	zd	t _{av}	b	t _f	b _f t _f /a _w	2c	I(cm ⁴)
1	3.87	68	25.09	0.62	12.46	0.95	1.533	39.93	4160
2	5.80	68	25.08	0.62	12.40	0.93	1.493	39.58	4109
3	7.75	68	25.07	0.62	12.41	0.95	1.521	39.81	4126

均断面値を示す。模型ばくは、圧延H形鋼 $250 \times 125 \times 6 \times 9$ 、全長 210cm 、材質 SS41、弾性係数 $2.1 \times 10^6 \text{kg/cm}^2$ である。応力測定には電気抵抗線式テルヒメータージを使用した。載荷は、円孔中心断面が純曲げ、純せん断、曲げとせん断を受けた場合について行った。

実験結果より修正理論、無限板理論による数値計算結果の一部を図-3に示す。図-3は、曲げとせん断の作用する荷重状態における 90° 断面の垂直応力 σ_x とせん断応力 τ_{xy} を、円孔径が孔高の $\frac{2}{3}, \frac{1}{2}, \frac{1}{3}$ のものについて比較している。

図-3によれば、修正理論は垂直応力 σ_x 、せん断応力 τ_{xy} 、ともに実験値といい近似を示している。一方無限板理論によるせん断応力 τ_{xy} は、円孔径が大きくなるほどその適合性が悪い。

紙面の都合上、他の実験結果、数値計算結果は講演当日発表する予定である。

6 あとがき

円孔を有するH形鋼の解析法として、無限板理論へ内外力の釣合を導入した修正理論を示した。次に、修正理論解析法の適用性を述べる。

(1) $\frac{a}{d} \leq \frac{1}{2}$ において、孔辺の弹性応力を正確に与える。

(2) $\frac{1}{2} < \frac{a}{d} \leq \frac{2}{3}$ において、 $\frac{a}{d} \leq \frac{1}{2}$ よりやや悪い近似を示すが、实用には十分である。

(3) $\frac{a}{d} > \frac{2}{3}$ において、円孔部分のウェブ面積が非常に小さくなり、孔は一体として動かなくなり、上下のフランジ部分からメン部材のような挙動示し、孔のとしての解析が困難となる。

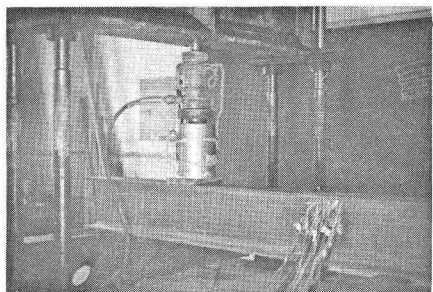
参考文献

(1) Bower J.E. 「Elastic Stresses Around Holes in

Wide-Flange Beams」 Journal of the Structural Division, ASCE 1966

(2) Bower J.E. 「Experimental Stresses in Wide-Flange Beams with Holes」 Journal of the Structural Division, ASCE 1967

(3) Savin G.N. 「Stress Concentration Around Holes」 Pergamon Press 1961



実験装置

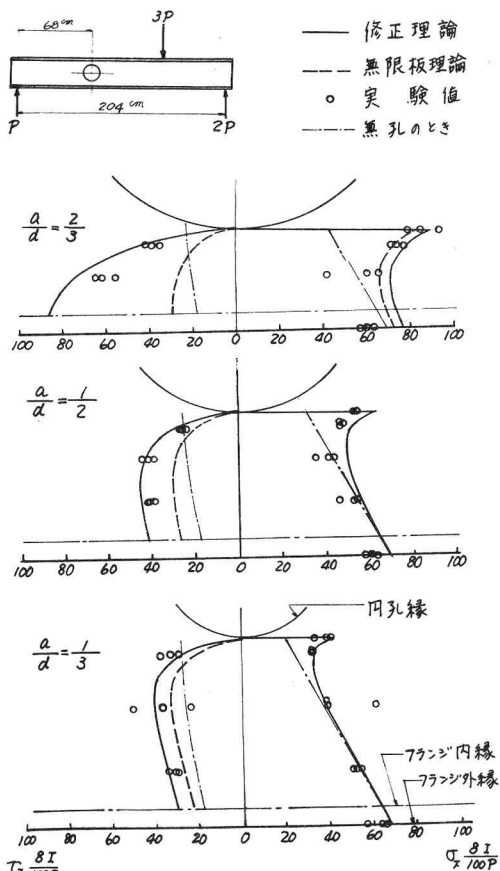


図-3